



بررسی آزمایشگاهی و مدلسازی اجزا محدود جذب انرژی در چند لایه‌های فلز-الیاف شیشه تقویت شده با نانولوله‌های کربنی تحت ضربه سرعت پایین

پرویز قاسمی¹، امید رحمانی^{2*}

1- دانشجوی کارشناسی ارشد، مهندسی مکانیک، دانشگاه زنجان، زنجان

2- دانشیار، مهندسی مکانیک، دانشگاه زنجان، زنجان

* زنجان، صندوق پستی 45371-38791

چکیده

در این پژوهش مقاومت در برابر ضربه سرعت پایین شاربی در چند لایه فلز-الیاف شیشه (گلار) تقویت شده با نانولوله کربنی چنددیواره، مورد بررسی قرار گرفته است. برای این منظور، گلارهایی از 3 لایه ورق آلومنیوم آلیازی T3-2024 و 8 لایه کامپوزیت شامل رزین اپوکسی و الیاف شیشه با استفاده از روش لایه‌گذاری دستی ساخته شدند. نمونه‌های مختلف به ترتیب با 0.1، 0.2، 0.3 و 0.5 درصد نانولوله کربنی چنددیواره تقویت شدند. برای آماده‌سازی سطح آلومنیوم چهت بهبود چسبندگی از روش آندایز در سولفوریک اسید استفاده شد. بر اساس استاندارد ISO-179 نمونه‌های آزمون بدون ناج تهیه و تحت آزمون ضربه شاربی قرار گرفتند. همچنین شبیه‌سازی عددی رفتار گلار تحت ضربه شاربی به روش المان محدود انجام شده است. نتایج حاصل از این بررسی نشان داد که با اضافه کردن نانولوله‌های کربنی چنددیواره به گلارها، جذب انرژی ضربه شاربی افزایش می‌یابد. بررسی‌ها نشان داد که افزودن 0.1 درصد نانولوله کربنی تنها 0.8٪ درصد انرژی جذب شده را افزایش می‌دهد و بیشترین تقویت بهزاری 0.3 درصد نانولوله کربنی و به میزان 14.36 درصد اتفاق می‌افتد. به ازای مقادیر مختلف نانولوله کربنی، مدهای شکست متفاوت در سازه مشاهده شد. آزمایش‌های انجام شده نشان دادند که تعییر شکل پلاستیک، تورق و کماش محلی لایه آلومنیومی و شکست و بیرون کشیدگی الیاف از جمله مکانیزم‌های جذب انرژی در این نمونه‌ها هستند. نتایج حاصل از شبیه‌سازی عددی نیز انطباق خوبی با نتایج تجربی دارند.

اطلاعات مقاله

مقاله پژوهشی کامل
دراфт: 19 می 1396
پذیرش: 04 اردیبهشت 1397
ارائه در سایت: 21 اردیبهشت 1397
کلید واژگان:
ضربه شاربی
چند لایه فلز-الیاف
گلار
نانولوله کربنی
آلومنیوم T3-2024

An experimental investigation and finite element modeling of energy absorption in GLARE fiber metal laminates reinforced by CNTs under low velocity impact

Parviz Ghasemi¹, Omid Rahmani^{2*}

1- Applied Mechanical Engineering, University of Zanjan, Zanjan

2- Mechanical Engineering, University of Zanjan, Zanjan

* P.O.B. 45371-38791, Zanjan, Iran, omid.rahmani@znu.ac.ir

ARTICLE INFORMATION

Original Research Paper
Received 02 February 2018
Accepted 24 April 2018
Available Online 11 May 2018

Keywords:
Charpy Impact
Fiber Metal Laminate
GLARE
Carbon Nanotube
AL 2024-T3

ABSTRACT

In this research, the low-velocity Charpy impact behavior of MWCNT/glass aluminum reinforced laminates (GLAREs) is investigated. For this purpose, GLAREs are made of three 2024-T3 aluminum layers and 8 glass/epoxy composite laminates by hand layup method. Specimens were reinforced by different concentrations of 0.1, 0.2, 0.3 and 0.5 wt% of MWNT. In order to improve adhesion properties, the anodizing method in a sulfuric acid bath is used for the preparation of the aluminum surface. The Charpy impact test is implemented on unnotched specimens according to the ISO-179 test method. Also, numerical modelling of Charpy impact behavior of GLAREs is performed by finite element method. The results showed that by adding MWNTs to GLAREs, energy absorption increases in Charpy impact test. Investigation showed by adding 0.1 wt% of CNTs, absorbed energy increases only 0.8% and maximum energy absorption occurs at 14.36% in 0.3 wt% of CNTs. The different modes of fracture observed for different concentration of CNTs. Performed experiments showed plastic deformation, delamination and local buckling of aluminum layers and breakage and pull-out of fibers are main energy absorption mechanisms in this specimens and numerical modeling has good agreement with experimental results.

آلومینیوم با کامپوزیت‌ها سازه‌هایی به دست می‌آیند که ضمن داشتن وزن

سبک‌تر، نسبت به آلیاژ یک پارچه آلومنیوم، مقاومت در برابر آتش و خواص

خستگی بهتری دارند [2.1]. امروزه دو دسته از چند لایه‌های فلز-الیاف، که

1- مقدمه

چند لایه‌های فلز-الیاف، برای اولین بار در دهه 1970، به عنوان جایگزینی

برای آلیاژهای آلومنیوم یک پارچه مورد توجه قرار گرفتند. با ترکیب آلیاژهای

داد که این سازه‌ها علاوه بر خواص مفید فلزات مانند نرمی، ضربه‌پذیری و کندی رشد ترک، خواص خوب کامپوزیت‌ها از قبیل مقاومت ویژه بالا، استحکام ویژه بالا، مقاومت خودگی و خستگی را نیز دارا می‌باشند.

مطالعات زیادی در خصوص تاثیر ساختار فاز زمینه بر مستحکم کردن سازه برای افزایش انرژی جذب شده صورت گرفته است. از آن جمله می‌توان به استفاده از نانوذرات و نانولوله‌های کربنی به جهت پتانسیل آنها برای بهبود انرژی جذب شده و خواص مکانیکی کامپوزیت‌ها اشاره نمود [14,13].

تأثیر اضافه شدن نانولوله کربنی چنددیواره بر روی رفتار ضربه و خواص پس از ضربه کامپوزیت پلیمری تقویت شده با الیاف کربن توسط کوستوپولوس و همکارانش [15] بررسی شده است. آنها حدود 0.5 درصد وزنی نانولوله را به کامپوزیت اضافه کردند. خواص ضربه کامپوزیت با افزودن نانولوله‌های کربنی خصوصاً بهزای انرژی بالاتر بهبود یافت. خواص پس از ضربه نیز بهویژه برای خواص فشاری (هم مدول فشاری و هم استحکام فشاری) بهبود یافته است. علاوه بر این، آنها نتیجه گرفتند که عمر خستگی فشاری-فشاری پس از ضربه نیز با اضافه کردن نانولوله کربنی افزایش می‌یابد.

تانگ و همکاران [16] مدهای واماندگی مختلفی از قبیل جدا شدن و بیرون زدن نانولوله‌ها، شکست لحظه‌ای و شکست لغزشی را در اپوکسی تقویت شده شناسایی نمودند که هر کدام از این‌ها می‌تواند به عنوان مکانیزم‌های جذب انرژی در نظر گرفته شوند.

زانگ و همکاران [17] میزان جذب انرژی در گلار را به ازای افزودن نانولوله کربنی تا میزان 2 درصد جرمی مورد بررسی قرار دادند. آنها در بررسی خود از نانولوله‌های چند دیواره استفاده کردند و نمونه‌های خود را تحت خمس سه نقطه و سقوط وزنه قرار دادند. بررسی آنها نشان داد که افزودن نانولوله انرژی جذب شده در ضربه را بهتر می‌کند و این نتایج کاملاً وابسته به میزان پخش‌شوندگی و ترشوندگی نانولوله‌ها می‌باشد.

مسعودی و همکاران [18] تاثیر نانو ذرات رسی را بر خواص بالستیکی چندلایه‌های فلز - الیاف شیشه بررسی کردند. آنها دریافتند که تنها با افزودن 7 و 10 درصد نانو رس میزان جذب انرژی مخصوص افزایش می‌یابد. شکریه و همکاران [19] تاثیر نانولوله‌های کربنی چنددیواره با طول بلند را بر خواص مکانیکی رزین و کامپوزیت‌ها مورد ارزیابی قرار دادند. آنها نتیجه گرفتند که وجود نانولوله‌ها با طول بلند سبب افزایش برهم‌کنش بین الیاف مجاور می‌شود و از این رو مکانیزم‌های تخریبی را به تاخیر می‌اندازد و در نتیجه خواص مکانیکی را بهویژه در کامپوزیت بهبود می‌بخشد.

رمضانی پارسا و اسلامی فارسانی [20] میزان انرژی جذب شده در ضربه سرعت پایین را به واسطه قرارگیری آلیاژ حافظه‌دار در چندلایه‌های فلز - الیاف بهاری پیش‌کرنش‌های مختلف بررسی نمودند. افزایش مقاومت در برابر ضربه که با کاهش شوک نیروی ضربه، افزایش مدت زمان تماس و کاهش میزان جایجای همراه است، از نتایج این بررسی بود.

خوانساری و همکاران [21] پاسخ چندلایه‌های فلز - الیاف کولار را در برابر ضربه بالستیک بررسی کردند. آنها در بررسی خود نشان دادند که از میان چندلایه‌های تقویت شده با ۰، ۰.۵ و ۱.۵ درصد نانولوله کربنی، چندلایه‌ای که حاوی ۱ درصد نانولوله است بیشترین جذب انرژی را دارد.

کبودمند و همکاران [22] تاثیر افزودن نانولوله‌های کربنی را به گلار مورد ارزیابی قرار دادند. آنها در بررسی خود، مقادیر ۰.۳، ۰.۲، ۰.۱ و ۰.۵ درصد نانولوله را به فاز زمینه کامپوزیت در گلار اضافه کردند و نشان دادند که با اضافه کردن این مقدار نانولوله کربنی، استحکام کششی گلار بهتر

بر پایه آلومینیوم هستند، تجاری شده‌اند. یکی آرال¹ که شامل الیاف آرامید است و دیگری گلار² که با استفاده از الیاف شیشه ساخته می‌شود. گلارها در سازه‌هایی مانند رویه بالایی سازه بدنی هواپیمای A380 به کار گرفته شده‌اند [3,1]. استفاده از الیاف معتمد باعث شده است که مقاومت در برابر ضربه در چندلایه‌های فلز - الیاف نسبت به آلومینیوم یک‌پارچه افزایش یابد.

آسیب در برابر ضربه، یکی از مهم‌ترین انواع آسیب‌ها در سازه‌های هواییما است که می‌تواند به دلایل مختلفی به وجود آید. از آن جمله می‌توان به ضربه‌های سرعت پایین مانند سقوط ابزار حین تعمیر و نگهداری و ضربه سرعت بالا مانند برخورد پرنده‌گان اشاره نمود [5,4]. انرژی وارد بر چندلایه‌های فلز - الیاف با استفاده از تغییر شکل پلاستیک و گسیختگی لایه فلزی، جدایش لایه‌های کامپوزیت و فلز، جدایش بین لایه‌های کامپوزیت (مانند شکست و جدایش الیاف) جذب می‌شود. یکی از نیازهای ثابت صنایع مختلف، بهویژه صنعت هواپضا، بهبود دائمی استانداردهای ایمنی در آنها است که سبب شده تحقیقات گسترده‌ای بر روی آن انجام شود که از آن جمله می‌توان به تلاش در جهت افزایش مقاومت در برابر ضربه و جذب انرژی در چندلایه‌های فلز - الیاف اشاره نمود.

مطالعات زیادی بر روی تاثیر تغییر در ساختار مواد تشکیل‌دهنده و نیز خواص سطح میانی آلومینیوم و کامپوزیت در جهت افزایش مقاومت به ضربه در چندلایه‌های فلز - الیاف انجام شده است. وی‌لات [6] و وی‌لات و همکاران [7]، رفتار گلارها و آرال‌های مختلف را در مقابل ضربه مقایسه کردند. آنها نتیجه گرفتند که گلار 3 به دلیل حساسیت به نرخ کرنش بالای الیاف شیشه، نسبت به آرال 2 مقاومت به ضربه بالای دارد. یعقوبی و همکاران [8] رفتار مقاومت به ضربه گلار 5 را در ساختار 2/3 در چیدمان‌های مختلف لایه‌ها بررسی کردند. آنها نشان دادند که لایه‌گذاری تک جهته کمترین مقاومت به ضربه را از خود نشان می‌دهد و بجای آن باید چیدمان معتماد و زاویه‌دار استفاده نمود.

موربینر و همکاران [9] مقاومت به ضربه گلارها را به ازای زوایای الیاف مختلف و موقعیت لایه‌های آلومینیوم در صفحه مستطیلی بررسی نمودند. نتایج تحلیلی و آزمایشگاهی آنها نشان داد که برای چندلایه‌ها با بیش از دو لایه آلومینیوم، لایه‌چینی قطری لایه‌های کامپوزیت مقاومت به ضربه بالاتر را از خود نشان می‌دهند.

صدیقی و داریوشی [10] مقاومت به ضربه چندلایه‌های فلز - الیاف شیشه را مورد بررسی قرار دادند. آنها در بررسی خود نشان دادند که وجود الیاف صفر درجه خواص مقاومت به ضربه را بهتر می‌کند، محل قرارگیری لایه‌ها در انرژی جذب شده تاثیر بسیاری دارد و نیز افزایش تعداد لایه‌های آلومینیومی نسبت به تعداد لایه‌های کامپوزیتی خواص نمونه را بهتر بهبود می‌بخشد.

در پژوهشی دیگر، صدیقی و همکاران [11] خواص کششی چندلایه‌ها را به دو روش تجربی و تحلیلی بررسی نمودند. آنها به این نتیجه رسیدند که خواص این سازه‌ها با الیاف صفر درجه بطور چشمگیری افزایش می‌یابد و نشان دادند که شیوه شکست لایه‌ها به تفاوت زوایای الیاف در دو لایه کامپوزیتی وابسته است.

رجبی و کدخدایان [12] به بررسی خواص کششی و خمی چندلایه‌های فلز - الیاف شیشه/کربن در مقایسه با آلومینیوم و کامپوزیت تقویت شده با الیاف شیشه/کربن پرداختند. نتیجه حاصل از ارزیابی آنها نشان

¹ Arall (Aramid Reinforced Aluminum Laminates)

² Glare (Glass Reinforced aluminum laminates)

بررسی نشان داد پیرسازی برودتی بیشترین و پیرسازی رطوبتی-حرارتی کمترین اثر را در کاهش خواص ضربه‌ای این مواد داشته است. همچنین این بررسی نشان داد که در این مواد اثر افت خواص ضربه‌ای پیرسازی بر اثر بهبود خواص نانورس برتری دارد.

در زمینه مدل‌سازی عددی رفتار چندلایه‌ها و کامپوزیت‌ها نیز کارهای بسیاری صورت گرفته است. پیرعلی و همکاران [29] پدیده نفوذ مایل پرتایه کالیبر متوسط ضذره را بر روی اهداف مسطح گلبر به روش المان محدود مورد بررسی قرار دادند. آنها بررسی خود را در سرعت‌های برخورد 625 و 1250 متر بر ثانیه و زوایای برخورد 0, 30, 45 و 60 درجه انجام دادند و آسیب دیدگی ایجاد شده را ارزیابی نمودند. نتایج این بررسی نشان داد که سرعت برخورد کمتر و زاویه برخورد بیشتر میزان آسیب را افزایش می‌دهد و پدیده‌هایی مانند پتالینگ متقارن و ایجاد ریزترک‌ها در برخورد مایل در قلعه به وجود می‌آید.

لایزیک و هرتادو [30] مدل آسیب ناهمسانگردی برای پیش‌بینی واماندگی و رفتار پس از آن در مواد تقویت شده با الیاف ارائه نمودند. آنها رفتار ماده را پیش از آسیب با استفاده از روابط تنش صفحه‌ای مدل کردند. برای شروع آسیب از مدل هشین استفاده کردند و مدلی را بر اساس انرژی شکست تلف شده در طول آسیب ارائه نمودند که به کمک جاچایی معادل افزایش آسیب را کنترل می‌کند. مدل تکامل آسیب ارائه شده توسط آنها در تحلیل‌های المان محدود، قابل پیاده سازی است.

شی و همکاران [31] آسیب ناشی از ضربه را در چندلایه کامپوزیتی با استفاده از یک مدل ترکیبی برای شروع آسیب بررسی نمودند و از مدل ارائه شده توسط لایزیک و هرتادو برای تکامل آسیب استفاده کردند. آنها مدل آسیب خود را به کمک مدل‌سازی رفتار ماده در نرم‌افزار آباکوس پیاده‌سازی کردند. نتایج حاصل از بررسی آنان نشان داد که با اضافه کردن عیار دیگری به جای عیار آسیب فشاری فاز زمینه در مدل هشین می‌توان رفتار ماده را بهتر مدل نمود.

سیتنیکوا و همکاران [32] آسیب سوراخ‌شده‌گی ناشی از بار انفجاری شدید را بر روی چندلایه فلز- الیاف مدل نمودند. چندلایه بررسی شده در این پژوهش از آلومینیوم آلیاژی 2024، الیاف پارچه بافت شده و رزین پلی‌پروپیلن ساخته شده بود. آنها بررسی خود را به کمک مدل‌سازی رفتار ماده در نرم‌افزار آباکوس انجام دادند و نشان دادند که شبیه‌سازی آنها انتظامی خوبی با نتایج آزمایشگاهی نشان می‌دهد.

شکریه و همکاران [33] شروع و پیش‌روی آسیب را در چندلایه کامپوزیتی دارای سوراخ تحت بار کششی به روش المان محدود شبیه‌سازی کردند. آنها با استفاده از مدل شروع و پیش‌روی هشین و مدل ناحیه چسبناک رفتار کامپوزیت را بررسی نمودند. آنها در این بررسی که به کمک نرم‌افزار آباکوس انجام گرفت نشان دادند که استفاده از مدل ناحیه چسبناک برای مدل‌سازی تورق، نتایج دقیق‌تری را نسبت به رفتار ماده ارائه می‌دهد.

جمال‌امیدی و محمدی سوکی [34] عملکرد چندلایه‌های فلز- الیاف را تحت ضربه سرعت پایین به روش عددی بررسی کردند. آنها از سه مدل برای شبیه‌سازی استفاده کردند. در مدل اول از آسیب بین لایه‌ای صرف‌نظر شد. در مدل دوم و سوم به ترتیب از روش المان چسبناک و سطح چسبناک برای مدل‌سازی استفاده نمودند. بررسی آنها نشان داد که با افزایش انرژی ضربه خطای مدل‌سازی بدون در نظر گرفتن آسیب بین لایه‌ای افزایش می‌یابد و بهترین مدل‌سازی با روش سطح چسبناک بدست آمد.

در پژوهش حاضر، هدف این است که با استفاده از تغییر ریز ساختار و از

می‌شود. آنها همچنین نشان دادند که بیشینه استحکام کششی به ازای 0.3 درصد اتفاق می‌افتد و مقادیر نانولوله بیشتر، مجدد استحکام را کاهش می‌دهند.

همچنین کبدوند و همکاران [23] میزان تقویت شوندگی گلار را تحت بارگذاری خمشی بررسی کردند. آنها گلار مورد بررسی را با درصدهای 0.1 و 0.2 و 0.5 از نانولوله تقویت کرده و نشان دادند که بیشترین تقویت شوندگی به میزان 25.7 و بهازای 0.3 درصد نانولوله کربنی به وجود می‌آید. در پژوهشی دیگر، اسلامی فارسانی و همکاران [24] اثر افزودن پودر شیشه به کامپوزیت پلیمری تقویت شده با الیاف بازالت در رفتار بازالت ضربه شاربی، در دو حالت تخت و لبه، را بررسی کردند. برای بررسی جزئیات بیشتر رفتار پودر شیشه در ماتریس پلیمری، این آزمون در دو دمای مختلف انجام شد. علاوه بر این، اثر افزودن ترکیبات مختلفی از لایه‌های فلزی به کامپوزیت تقویت شده با الیاف بازالت در مقابل ضربه شاربی نیز بررسی شده است. نتیجه این تحقیق نشان داد که افزودن پودر شیشه به کامپوزیت مقاومت به ضربه را مخصوصاً در دمای بالا افزایش می‌دهد. همچنین مزیت چندلایه‌های کامپوزیتی تقویت شده با لایه‌های فلزی در جذب انرژی نیز مشاهده شد.

نجفی و همکاران [25] خواص ضربه‌ای کامپوزیت‌ها و چندلایه‌های فلز- الیاف تقویت شده با نانورس که در معرض شوک حرارتی دما بالا قرار گرفته است را بررسی نمودند. آنها کامپوزیت‌ها و چندلایه‌های فلز- الیاف را تحت دمای 230 درجه قرار دادند و خواص ضربه‌ای آنها را قبل و بعد از شوک با هم مقایسه نمودند. نتایج این بررسی نشان داد که وجود نانورس به حفظ خواص مقاومت به ضربه این مواد کمک بهسازی می‌کند. همچنین بهدلیل وجود لایه‌های فلزی و نقش محافظتی آنها، خواص مقاومت به ضربه در چندلایه‌های فلز- الیاف در معرض شوک حرارتی کمتر افت می‌کند. مسعودی و همکاران [26] اثر نانو مواد رسی بر خواص بالستیک گلار را به صورت تجربی بررسی کردند. نمونه‌های آزمایش آنها از رویه آلومینیوم آلیاژی 2024 و هسته کامپوزیتی ساخته شده از الیاف شیشه تک جهته 409 گرم بر مترمربع و رزین 219 CY تشکیل شده است. این نمونه‌ها با 0, 7 و 10 درصد وزنی نسبت به ماتریس از ذرات رسی کلوسیدسی به تقویت شدند و با سرعت 205 و 225 متر بر ثانیه تحت آزمایش بالستیک قرار گرفتند. نتایج حاصل از بررسی آنان نشان داد که در نمونه تقویت شده با 4 درصد نانورس جذب انرژی تغییر ناچیزی دارد اما با 7 و 10 درصد میزان انرژی جذب شده افزایش می‌یابد.

عموی دیزجی و پردازی پاسخ به ضربه سرعت پایین چندلایه کارال را که توسط نانوذرات سیلیکا و نانولوله کربنی چنددیواره تقویت شده بود مورد ارزیابی قرار دادند [27]. آنها نمونه خود را به روش انتقال رزین در قالب به وسیله خلا ساختند. نمونه آنها متشکل از دو لایه آلومینیوم آلیاژی 2024 و 11 لایه الیاف کربن با کسر حجمی 66 درصد بود و توسط دستگاه سقطوط وزنه با انرژی 20, 40 و 60 ژول تحت ضربه قرار گرفت. نتایج این بررسی نشان داد که عملکرد نانولوله‌های کربنی در بهبود خواص ضربه‌ای بهتر از تاثیر نانو سیلیکا می‌باشد. چسبندگی و پخش شوندگی بهتر و همچنین ایجاد اتصال بین لایه‌ای قوی از دلایل این برتری عنوان شده است.

نجفی و همکاران [28] اثر شرایط محیطی مختلف از قبیل پیرسازی برودتی در دمای 196- درجه سانتیگراد، پیرسازی دما بالا در دمای 130 درجه سانتیگراد و پیرسازی رطوبتی-حرارتی در آب مقطر 90 درجه سانتیگراد را بر روی گلار تقویت شده با نانورس بررسی کردند. نتایج این

جدول 1 مشخصات فنی نانولوله‌های کربنی مورد استفاده [35]

Table 1 Properties of used CNTs [35]

مقادیر	مشخصه
بیش از 95 درصد	درصد خلوص
2 درصد	درصد وزنی COOH
10-5 نانومتر	قطر داخلی
20-10 نانومتر	قطر خارجی
30-10 میکرومتر	طول
رسوب بخار	رسوب تولید

7500s ساخت شرکت پارس نهند قرار گرفت. مدت زمان همزدن در التراسونیک 120 دقیقه در نظر گرفته شد که هر 20 دقیقه به مدت 5 دقیقه جدداً با استفاده از همزن مکانیکی عملیات اختلاط مکانیکی شد. جهت جلوگیری از افزایش دمای رزین، که می‌تواند بدلیل لرزش‌های فرکانس بالا اتفاق بیافتد، از مخلوط آب و بخ در حمام استفاده شد. جهت آماده‌سازی سطح الومینیوم برای چسبندگی بهتر، روش‌های مختلف مورد بررسی قرار گرفت و مشخص گردید که از بین روش‌های سمباده‌زنی، اج کردن با سود سوزآور و آندازی با محلول سولفوریک اسید، آندازی بهترین چسبندگی را ایجاد می‌کند. بر همین اساس، در ادامه پژوهش سطح تمامی الومینیوم‌ها با استفاده از آندازی در محلول سولفوریک اسید 15 درصد آماده‌سازی شدند. شکل 2. تصاویر مربوط به نحوه آندازی ورق‌های الومینیومی را نشان می‌دهد. الومینیوم‌ها با جریان 1.4 آمپر و به مدت 60 دقیقه تحت آندازی قرار گرفتند تا سطح مناسبی برای چسبندگی بهتر به وجود آید.

با بررسی استانداردهای موجود مشخص شد که هنوز استانداردی مربوط به ضربه شارپی برای چندلایه‌های فلز-الیاف ارائه نشده است. استانداردهای ضربه شارپی مربوط به پلاستیک‌ها و یا فلزات هستند که در حالت بدون ناج و همراه با ناج نمونه‌ها را مورد آزمایش قرار می‌دهند. چندلایه‌های فلز-الیاف ترکیبی از این دو نوع ماده هستند و لذا در تحقیقات گذشته برای بررسی چنین سازه‌هایی از هر دو نوع استاندارد نیز استفاده شده است. با توجه به اینکه در حین ایجاد ناج در نمونه‌های گلار لایه الومینیومی در یک طرف به طور کامل بریده خواهد شد، از استاندارد بدون ناج برای آزمون استفاده شد. بر همین اساس از استاندارد آزمون ضربه شارپی ISO 179 برای بررسی انرژی جذب شده در نمونه‌ها استفاده شده است.

بعاد نمونه طبق این استاندارد به ترتیب 2.5 میلیمتر (ضخامت) در 15 میلیمتر (عرض) در 62.5 میلیمتر (طول) در نظر گرفته شد. برای هر کدام از نمونه‌های آزمون 6 تکرار در نظر گرفته شد تا نتایج از پایداری مناسبی



شکل 2 وان آندازی الومینیوم

شکل 2 وان آندازی الومینیوم

طریق افزودن نانولوله‌های کربنی در کنار تقویت‌کننده الیاف شیشه، خواص مقاومت به ضربه گلارها بهبود یابد. بر این اساس، میزان انرژی جذب شده در ضربه سرعت پایین توسط آزمایش ضربه شارپی بر روی گلار مورد بررسی قرار گرفته است و اثر افزودن نانولوله کربنی چنددیواره با درصد جرمی‌های مختلف 0.3، 0.2 و 0.5 بر آن ارزیابی شده است. همچنین برای بررسی دقیق‌تر رفتار گلار تحت ضربه شارپی، نمونه بدون نانولوله کربنی به کمک روش المان محدود در نرم‌افزار آباکوس مدل‌سازی شده است و مورد بررسی قرار گرفته است.

2-آزمایش ضربه شارپی

2-1-مواد

در پژوهش حاضر، برای فاز زمینه چندلایه فلز-الیاف از رزین اپوکسی KER 828 ساخت شرکت کومه‌هی کره استفاده شده است. این رزین ویسکوزیه متسطی دارد و بر پایه بیسفنول A و اپی‌کلروهیدرین ساخته می‌شود و هاردنر مورد استفاده در آن، تری‌اتیلن تترامین با نسبت اختلاط 15 به 100 است.

برای الیاف شیشه مورد استفاده جهت تقویت فاز زمینه، از پارچه شیشه بافت‌شده از گرید 400 گرم بر متر مربع با بافت ساده استفاده شده است. این الیاف محصول شرکت دونگیو فایبر‌گلاس چین و از نوع E-GLASS است و کرنش شکست بالا، قابلیت خیس شوندگی بالا، ایجاد چسبندگی خوب ماتریس و قیمت پایین از ویزگی‌های این الیاف شیشه است.

در این پژوهش از نانولوله کربنی عامل دار با گروه عاملی کربوکسیل (COOH) محصول شرکت چیپ‌تیوب¹ آمریکا به عنوان تقویت‌کننده دوم استفاده شده است. شکل 1 تصویر میکروسکوپی الکترونی عبوری از نانولوله‌های کربنی مورد استفاده را نشان می‌دهد. همچنین مشخصات فنی مربوط به این نانولوله‌ها در جدول 1 آمده است.

برای بخش فلزی چندلایه فلز-الیاف، از الومینیوم آلیازی 2024 با عملیات حرارتی T3 استفاده شده است. ضخامت این ورق 0.5 میلیمتر است که طبق استاندارد گلارها، بیشترین ضخامت در استاندارد ورق‌ها می‌باشد.

2-روش ساخت

در این تحقیق، برای ساخت نمونه‌ها از روش لایه‌گذاری دستی استفاده شده است. ابتدا نانولوله‌ها به نسبت وزنی 0.1، 0.2 و 0.5 درون رزین ریخته شد و سپس با استفاده از همزن مکانیکی با سرعت 1500 دور بر دقیقه به مدت 10 دقیقه مخلوط شد و در ادامه درون حمام التراسونیک پارسونیک



شکل 1 تصویر میکروسکوپ الکترونی عبوری نانولوله‌های کربنی مورد استفاده [35]

¹ Cheaptube

1-3- شروع و گسترش آسیب در لایه‌های کامپوزیتی

رفتار کامپوزیت‌های تقویت شده با الیاف به‌گونه‌ای است که بدون ایجاد تغییر شکل پلاستیک دچار آسیب می‌شوند [30]. آغاز آسیب را می‌توان به صورت کاهش ضریب سفتی ماده در نظر گرفت. هشین چهار معیار آسیب کشش الیاف، فشار الیاف، کشش زمینه و فشار زمینه را به‌شکل روابط (1) در نظر می‌گیرد [30]:

$$\begin{aligned} \left(\frac{\hat{\sigma}_{11}}{X^T}\right)^2 + \alpha \left(\frac{\hat{\sigma}_{12}}{S^L}\right)^2 &= 1 \quad \hat{\sigma}_{11} \geq 0 \\ \left(\frac{\hat{\sigma}_{11}}{X^C}\right)^2 &= 1 \quad \hat{\sigma}_{11} \leq 0 \\ \left(\frac{\hat{\sigma}_{22}}{Y^T}\right)^2 + \left(\frac{\hat{\sigma}_{12}}{S^L}\right)^2 &= 1 \quad \hat{\sigma}_{22} \geq 0 \\ \left(\frac{\hat{\sigma}_{22}}{Z^T}\right)^2 + \left[\left(\frac{Y^C}{2S^T}\right)^2 - 1\right] \hat{\sigma}_{22} + \left(\frac{\hat{\sigma}_{12}}{S^L}\right)^2 &= 1 \quad \hat{\sigma}_{22} \leq 0 \end{aligned} \quad (1)$$

که در آن $X^T, X^C, Y^T, S^L, Y^C, Z^T$ و α به ترتیب استحکام کششی طولی، استحکام فشاری طولی، استحکام کششی عرضی، استحکام فشاری عرضی، استحکام برشی طولی، استحکام برشی عرضی و ضریب تاثیر تنش برشی در شروع آسیب کششی الیاف است. همچنین $\hat{\sigma}_{11}$ و $\hat{\sigma}_{12}$ و $\hat{\sigma}_{22}$ مولفه‌های تنش موثر هستند که با استفاده از رابطه (2) تعیین می‌شوند:

$$\hat{\sigma} = M\sigma \quad (2)$$

در این رابطه σ تنش حقیقی و M اپراتور آسیب است:

$$M = \begin{bmatrix} \frac{1}{(1-d_f)} & 0 & 0 \\ 0 & \frac{1}{(1-d_m)} & 0 \\ 0 & 0 & \frac{1}{(1-d_s)} \end{bmatrix} \quad (3)$$

که در آن d_f و d_m به ترتیب متغیرهای آسیب الیاف، زمینه و برش هستند. لازمیک متغیرهای آسیب d_f, d_m, d_s را متناسب با چهار معیار شکست رابطه (1) معرفی کرد که مقادیر بین صفر (بدون آسیب) و یک (آسیب کامل) را می‌پذیرند و با متغیرهای موجود در رابطه (3) به‌شکل رابطه (4) در ارتباط هستند:

$$\begin{aligned} d_f &= \begin{cases} d_f^t & (\hat{\sigma}_{11} > 0) \\ d_f^c & (\hat{\sigma}_{11} < 0) \end{cases} \\ d_m &= \begin{cases} d_m^t & (\hat{\sigma}_{22} > 0) \\ d_m^c & (\hat{\sigma}_{22} < 0) \end{cases} \\ d_s &= 1 - (1 - d_f^t)(1 - d_f^c)(1 - d_m^t)(1 - d_m^c) \end{aligned} \quad (4)$$

پیش از شروع آسیب رفتار ماده به صورت الاستیک خطی است و ماتریس سفتی حالت تنش صفحه‌ای ماده ارتوپویک خواهد بود. به محض شروع آسیب، تنش در ماده به‌شکل $C_d\epsilon = C_d\sigma$ مدل می‌شود که در آن ϵ کرنش و C_d ماتریس سفتی آسیب است [30] و طبق رابطه (5) تعریف می‌گردد:

$$C_d = \frac{1}{D} \begin{bmatrix} d_f^* E_1 & d_f^* d_m^* v_{21} E_1 & 0 \\ d_f^* d_m^* v_{12} E_1 & d_f^* E_2 & 0 \\ 0 & 0 & D d_s^* G_{12} \end{bmatrix} \quad (5)$$

که در آن $d_s^* = (1 - d_s), d_m^* = (1 - d_m), d_f^* = (1 - d_f)$ و $D = 1 - (1 - d_f)(1 - d_m)v_{12}v_{21}$ می‌باشد. در رابطه (5) E_1, E_2, v_{12}, v_{21} مدول الاستیک و v_{12} و v_{21} ضریب پواسون ماده آسیب‌نديده هستند.

در مدل حاضر، نرم‌شوندگی لایه آسیب دیده به صورت خطی در نظر گرفته شده است و نرخ اتفاق انرژی در طول فرآیند آسیب به شکل رابطه (6) است:

$$G_c = Y_{ft} d_f^t + Y_{fc} d_f^c + Y_{mt} d_m^t + Y_{mc} d_m^c \quad (6)$$



Fig. 3 lay-up of specimens

شکل 3 لایه‌گذاری نمونه‌ها

برخوردار باشند. بنابراین نمونه‌های گلار تقویت شده با نانولوله‌های کربنی به ابعاد 160 میلیمتر در 75 میلیمتر ساخته شد و از آن 6 نمونه تست به ابعاد گفته شده برش خورد. نمونه‌ها شامل 3 لایه آلومینیوم هستند که در بین هر دو لایه آلومینیوم، 4 لایه کامپوزیت قرار گرفته است.

پس از آماده‌سازی سطح آلومینیوم‌ها و مخلوط کردن نانولوله‌ها در درون اپوکسی، نمونه‌ها لایه‌چینی شد و در زیر قالب‌های فشار قرار گرفت. لازم به ذکر است که ایجاد فشار مناسب بر روی سطح چندلایه یکی از مهم‌ترین پارامترها در کیفیت ساخت آن‌ها به حساب می‌آید. شکل 3 و 4 به ترتیب نحوه لایه‌گذاری و قالب‌های فشار را به همراه تعدادی از نمونه‌های ساخته شده نشان می‌دهند.

نمونه‌های ساخته شده به مدت 48 ساعت در زیر فشار قرار گرفتند و پس از آن جهت پخت تکمیلی به مدت 240 دقیقه در دمای 70 درجه سانتی‌گراد قرار گرفتند و در ادامه به ابعاد استاندارد برش خورد و مورد آزمون قرار گرفتند.

3- شبیه سازی عددی

در این بخش نحوه مدل‌سازی ضربه شاری بر چندلایه فلز-الیاف شیشه به روش المان محدود در نرم افزار آباکوس بررسی شده است. در پژوهش حاضر از مدل شروع آسیب هشین و معیار پیش‌رونده آسیب، که بر اساس انرژی است، برای مدل‌سازی رفتار لایه‌های کامپوزیتی استفاده شده است. رفتار لایه آلومینیومی به کمک مدل جانسون-کوک شبیه‌سازی شده است. همچنین جهت مدل‌سازی آسیب بین لایه‌ای و تورق نیز از قانون ساختاری کشش-جدایش بهره گرفته شده است.



Fig. 4 Pressure plates and fabricated specimens

شکل 4 صفحات فشار و نمونه‌های ساخته شده

4-3- شیوه سازی در آباکوس

همانطور که پیش از این نیز گفته شد برای مدل سازی المان محدود از نرم افزار آباکوس استفاده شده است. برای این منظور چند لایه فلز-الیاف شیشه مشکل از 3 لایه آلومینیوم 2024-T3 و 16 لایه کامپوزیت مدل سازی شده است. لایه‌های کامپوزیت موجود در مدل تجربی با الیاف پارچه بافت شده به صورت دو لایه مجزای [0/90] در نظر گرفته شده است. به منظور مدل سازی تورق، تمام لایه‌ها به طور مجزا طراحی شده‌اند و بین لایه‌ها سطح چسبنده لحاظ شده است.

برای مدل سازی رفتار لایه آلومینیوم از مدل جانسون-کوک استفاده شده است که خواص آن از مرجع [32] استخراج و در جدول 2 آمده است. برای مشبندی لایه آلومینیوم از المان سه‌بعدی آجری خطی C38DR که دارای 8 گره است استفاده شده است و خاصیت حذف المان برای آن فعل شده است. رفتار لایه‌های کامپوزیتی با استفاده از روش هشین دوبعدی مدل شده است. خواص مربوط به آن لایه کامپوزیتی [30] در جدول 3 آمده است. مشبندی این لایه با استفاده از المان پوسته پیوسته C38R که دارای 8 گره می‌باشد، انجام شده است. برای مدل سازی تورق بین لایه‌ها با توجه به نتایج مطالعات گذشته [34] از اتصال چسبنایک استفاده شده است. خواص مربوط به لایه چسبنده در جدول 4 آمده است [31].

ضریب زننده و تکیه‌گاه به صورت صلب مدل شده است و تماس بین آنها و مدل به صورت تماس سخت در نظر گرفته شده است. شکل 5 مدل طراحی شده را به همراه مشبندی آن نشان می‌دهد. در این مدل، ابعاد و هندسه ضریب زننده و تکیه‌گاه‌ها دقیقاً مشابه با دستگاه تست ضربه شارپی طراحی شده است.

جدول 2 خواص مواد برای آلومینیوم 2024-T3 [32]

مقدار	مشخصه	مقدار	مشخصه
0.4	n	2690	ρ (kg/m ³)
1	$\dot{\varepsilon}_0$	73.1	E (GPa)
0.13	d_1	0.3	ν
0.13	d_2	76	A (MPa)
-1.5	d_3	210	B (MPa)
0.011	d_4	0.05	C

جدول 3 خواص ارتوتروپیک اپوکسی تقویت شده با الیاف [30]

مقدار	مشخصه	مقدار	مشخصه
50	Y^T (MPa)	55	E_1 (GPa)
150	Y^C (MPa)	9.5	E_2 (GPa)
50	S^L (MPa)	5.5	G_{12} (GPa)
75	S^T (MPa)	5.5	G_{13} (GPa)
12.5	G_{ft} (N/mm)	3	G_{23} (GPa)
12.5	G_{fc} (N/mm)	0.33	ν_{12}
1	G_{mt} (N/mm)	2500	X^T (MPa)
1	G_{mc} (N/mm)	2000	X^C (MPa)

جدول 4 خواص چسبنگی اپوکسی [31]

III	مود	II	مود	I	مود
493.3	493.3	1373.3	(GPa/mm)	(GPa/mm)	
9.23	9.23	6.23		(MPa)	استحکام
790	790	280		(J/m ²)	انرژی شکست

که در آن $\dot{\varepsilon}_{pl}$, Y_{fc} و Y_{mc} نیروهای ترمودینامیکی متناسب با مدهای شکست هستند و از رابطه (7) بدست می‌آید:

$$Y_{ij} = \frac{\partial G}{\partial d_i^j} \quad (i,j) \in \{(f,t), (f,c), (m,t), (m,c)\} \quad (7)$$

که در آن G انرژی آزاد گیبس است [30].

در این روابط متغیرهای آسیب d_m^t , d_f^t و d_c^t بر اساس انرژی تلفشده تعریف می‌شوند و با در نظر گرفتن یک جابجایی معادل بدست می‌آیند [30] که در اینجا به آن اشاره نمی‌شود.

3-2- مدل سازی رفتار و آسیب لایه آلومینیوم

با توجه به ماهیت آزمون ضربه، لحاظ کردن اثر نرخ کرنش در مدل سازی رفتار آلومینیوم حائز اهمیت است. به همین دلیل در این پژوهش از مدل وابسته به نرخ کرنش جانسون-کوک استفاده شده است که با رابطه (8) بیان می‌شود [32]:

$$\sigma = [A + B(\dot{\varepsilon}_{pl})^n] \left[1 + C \ln \left(\frac{\dot{\varepsilon}_{pl}}{\dot{\varepsilon}_0} \right) \right] \quad (8)$$

که در آن A , B , C و n ثوابتی هستند که با استفاده از آزمایش بدست می‌آیند. $\dot{\varepsilon}_{pl}$ نرخ کرنش پلاستیک موثر، $\dot{\varepsilon}_0$ نرخ کرنش پلاستیک موثر و $\dot{\varepsilon}_f^{pl}$ نرخ کرنش آسیب جمله مربوط به دما در نظر گرفته نشده است.

مدل آسیب دینامیکی جانسون-کوک از معیار ω برای بررسی آسیب استفاده می‌کند که به شکل رابطه (9) تعریف می‌شود [32]:

$$\omega = \sum \left(\frac{\Delta \dot{\varepsilon}_{pl}}{\dot{\varepsilon}_f^{pl}} \right) \quad (9)$$

که در آن $\Delta \dot{\varepsilon}_{pl}$ افزایش کرنش پلاستیک معادل و $\dot{\varepsilon}_f^{pl}$ نرخ کرنش آسیب است که به شکل رابطه (10) بدست می‌آید:

$$\dot{\varepsilon}_f^{pl} = [d_1 + d_2 \exp(d_3 \eta)] \left[1 + d_4 \ln \left(\frac{\dot{\varepsilon}_{pl}}{\dot{\varepsilon}_0} \right) \right] \quad (10)$$

در رابطه (10) ضرایب d_1 تا d_4 ثوابت ماده هستند و با آزمایش بدست می‌آیند. η پارامتر سه‌محوره بودن تنش است. بر اساس این معیار هنگامی که ω بزرگتر از یک شود ماده دچار آسیب خواهد شد.

3-3- جدایش لایه‌ها

برای مدل سازی جدایش بین لایه‌های کامپوزیت و همچنین جدایش بین کامپوزیت و آلومینیوم از قانون ساختاری کشنش-جدایش استفاده شده است. در این قانون، شروع آسیب با استفاده از یک رابطه درجه دوم از معیار تنش نامی به شکل رابطه (11) تعریف می‌شود:

$$\left[\frac{\langle t_n \rangle}{t_n^0} \right]^2 + \left[\frac{\langle t_s \rangle}{t_s^0} \right]^2 + \left[\frac{\langle t_t \rangle}{t_t^0} \right]^2 = 1 \quad (11)$$

که در آن پرانتز ماکولی $\langle x \rangle$ به شکل $\langle x \rangle = (x + |x|)/2$ تعریف می‌شود. t_n و t_s تنش عمودی و برشی موجود در ناحیه چسبندگی و t_t^0 تنش عمودی و برشی بیشینه قابل تحمل توسط چسب است. تکامل آسیب با رابطه توانی (12) قابل بیان است (توان یک):

$$\left[\frac{G_n}{G_n^c} \right] + \left[\frac{G_s}{G_s^c} \right] + \left[\frac{G_t}{G_t^c} \right] = 1 \quad (12)$$

که در آن G_n , G_s و G_t انرژی شکسته توسط نیروهای کشنشی و برشی در جهت عمودی و مماس بر سطح چسبنده است و G_n^c , G_s^c و G_t^c مقادیر بحرانی انرژی شکست در ناحیه چسبنده می‌باشد.

استحکام چسبندگی بین پلیمر استفاده شده و لایه آلومینیوم نیز به‌واسطه وجود نانولوله‌های کربنی افزایش می‌یابد. در نتیجه نیرو به‌خوبی بین لایه فلزی و الیاف منتقل می‌شود و رشد ترک‌های ایجاد شده، به‌واسطه وجود الیاف متصل‌کننده به تاخیر می‌افتد [22].

نتایج حاصل از نمودار شکل 6 و جدول 5 نشان می‌دهد که اضافه کردن نانولوله کربنی به اندازه 0.1 درصد، اثر تقویتی ناچیز (0.8 درصد) بر انرژی جذب شده در گلار دارد. می‌توان گفت که افزودن این میزان از نانولوله کربنی به‌خوبی نتوانسته است میان الیاف مجاور و نیز خود رزین پیوند محکمی برقرار کند و میزان آن برای اثرباره ایجاد شده در آزمون ضربه شارپی ناچیز بوده است.

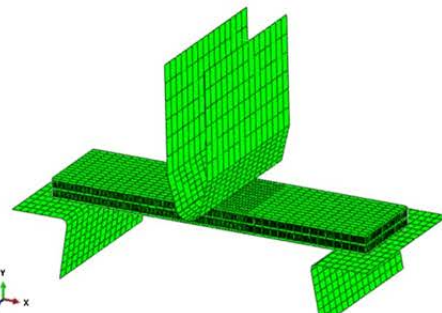
با افزایش نانولوله کربنی به میزان 0.2 درصد، جذب انرژی تا 6.7 درصد افزایش می‌یابد. این میزان از جذب انرژی در 0.3 درصد نانولوله کربنی به حداقل خود (14.36 درصد) می‌رسد و با افزایش درصد نانولوله تا 0.5 درصد، انرژی جذب شده کاهش می‌یابد. علت افت خواص مقاومت به ضربه در این مقدار از نانولوله کربنی می‌تواند ناشی از اختلاط نامناسب نانولوله‌ها در رزین باشد که با کلخه شدن آنها همراه خواهد بود. این اتفاق که باعث افزایش تردی رزین تقویت شده می‌شود، خواص جذب انرژی آن را کاهش می‌دهد [25].

انرژی وارد شده به چندلایه باید از طریق مکانیزم‌های مختلف آزاد شود تا از شکست ناگهانی سازه‌ها، که در نتیجه آغاز و رشد ترک اتفاق می‌افتد، جلوگیری کند. اختلاف موجود در انرژی جذب شده را می‌توان به نحوه شکست و تغییر شکل‌های بوجود آمده در چندلایه‌ها مرتبط دانست. جهت بررسی رفتار جذب انرژی چندلایه‌های مورد بررسی، مکانیزم شکست آنها ارزیابی شده است.

شکل 7 نمونه شاهد (بدون نانولوله کربنی) را نشان می‌دهد که تحت ضربه شارپی قرار گرفته است. همانطور که گفته شد نمونه‌ها از پارچه شیشه باقی شده ساخته‌اند. جهت گیری الیاف به‌گونه‌ای است که تار الیاف در جهت 0 درجه و پود آنها در جهت 90 درجه قرار گرفته‌اند. وجود الیاف در جهت 0 درجه باعث شده است که مقاومت نمونه‌ها افزایش یابد [10]. همانطور که در این شکل دیده می‌شود، لایه آلومینیوم پشتی نمونه (مورد اصابت مستقیم چکش) دچار کماش محلی شده است و بدین وسیله بخشی از انرژی را جذب نموده‌اند. وجود الیاف تار 0 درجه در لایه جلویی چندلایه سبب بازگشت موج ضربه و به وجود آمدن این پدیده شده است. نتایج مشابهی در بررسی ضربه مربوط به گلارها توسط صدیقی و داریوشی [10] بدست آمده است.

وجود تغییر شکل پلاستیک لایه آلومینیومی در بخش‌های میانی ورق، هم در قسمت جلو و هم در قسمت پشتی و جدایش محدود در لایه پشتی چندلایه، مشهود است که بخشی از جذب انرژی را به خود اختصاص داده است. همچنین آلومینیوم لایه جلویی دچار پارگی شده است که دلیل آن را می‌توان وجود الیاف پود 90 درجه دانست که انرژی را مستقیماً به آلومینیوم مجاور منتقل می‌کند و مقاومتی در برابر کشیده شدن ناحیه جلویی نمونه از خود نشان نمی‌دهد [11]. البته لازم به ذکر است که به دلیل باقیه بودن الیاف مورد استفاده بهراحتی نمی‌توان از الیاف 0 و 90 درجه به‌طور مجزا صحبت نمود اما می‌توان علت به وجود آمدن این پدیده را وجود رفتاری شبیه به الیاف 90 درجه مجزا دانست که در دل پارچه بافت ساده نهفته است.

علاوه بر موارد ذکر شده، شکستگی در لایه کامپوزیت پشتی نیز قابل مشاهده است که این امر نیز به جذب انرژی کمک کرده است [10].



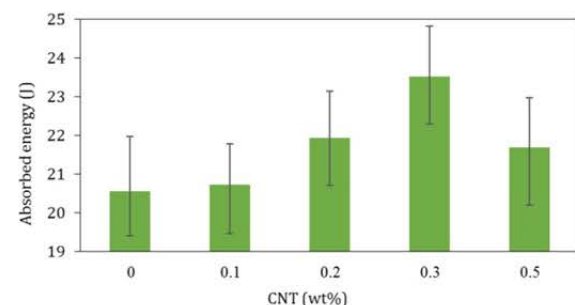
شکل 5 مدل المان محدود استفاده شده در آباکوس

شکل 5 مدل المان محدود استفاده شده در آباکوس

4- بررسی و نتایج

جدول 5 نتایج مربوط به آزمون ضربه شارپی را برای نمونه‌های آزمایش شده نشان می‌دهد. نمونه‌ها در 5 دسته و از هر دسته 6 نمونه آزمایش شده است. ضربه تغییرات بدست آمده نشان‌دهنده عدم پراکندگی داده‌ها و دقت مناسب آزمون انجام شده است. شکل 6 نمودار مربوط به جذب انرژی گلارها را به‌ازای 0.0، 0.2، 0.3 و 0.5 درصد جرمی نانولوله کربنی تحت ضربه شارپی نشان می‌دهد. همانطور که در این نمودار مشخص است، با افزودن نانولوله کربنی، انرژی جذب شده ابتدا تا 14.36 افزایش می‌یابد و سپس مجدداً دچار افت می‌شود. نانولوله‌های کربنی با ایجاد اتصال قوی میان رزین اپوکسی و الیاف شیشه بر انرژی جذب شده در ضربه تأثیر مثبت گذاشته است. همچنین وجود نانولوله‌های کربنی چند دیواره، که طول آن نیز بلند است، باعث افزایش چسبندگی بین الیاف مجاور می‌شود. این موضوع قبل از توسعه واریر و همکاران بررسی شده است [36]. در نتیجه، این امر جدایش بین لایه‌ها و الیاف را به تاخیر اندخته و کرنش بحرانی را افزایش می‌دهد و به افزایش استحکام چندلایه‌ها کمک می‌کند [19].

از طرف دیگر بررسی جوچیباو و همکاران [37] نشان داده است که



شکل 6 انرژی جذب شده بر حسب درصد جرمی نانولوله‌های کربنی

جدول 6 نتایج آزمون ضربه شارپی

میانگین ضربه	انرژی جذب شده توسط نمونه‌های هر دسته (زول)	میزان نانولوله (درصد)
4.46	20.56	21.13
4.28	20.72	21.61
3.84	21.94	22.39
3.93	23.52	23.14
4.95	21.69	23.93
	----	23.91
	22.97	22.65
	20.19	24.82
	21.29	22.29
	22.10	0.5

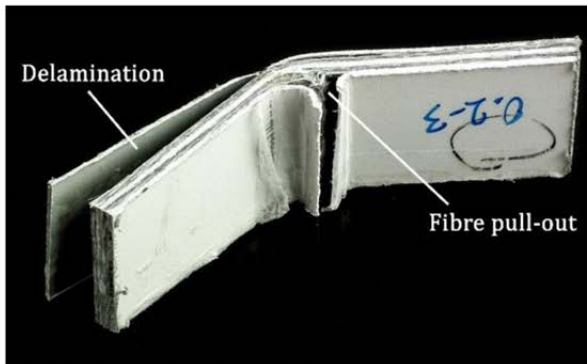


Fig. 9 GLARE with 0.2 wt% of CNTs

شکل 9 گلار تقویت شده با 0.2 درصد نانولوله کربنی

تغییر شکل پلاستیک و گسیختگی شده است. لایه آلومینیوم پشتی نیز در اثر بازگشت موج ضربه دچار کمانش محلی و در نهایت گسیختگی شده است که شدت آن نسبت به دو مورد قبل بیشتر است. علاوه بر آن، شکستگی کامل و بیرون زدگی الیاف در لایه‌های کامپوزیتی جلویی و پشتی نیز به‌وضوح مشاهده می‌شود. حضور این مکانیزم‌های جذب انرژی باعث شده است که این چندلایه بیشترین مقاومت را بین نمونه‌های مطابق شده از خود نشان دهد و انرژی بیشتری را به‌وسیله تغییر شکل‌های بیان شده جذب نماید.

در نهایت با افزایش درصد نانولوله از 0.3 درصد به 0.5 درصد، میزان جذب انرژی، کاهش یافته است. با نگاهی به مکانیزم‌های جذب انرژی در این دسته از نمونه‌ها (شکل 11) می‌توان دید که این نمونه‌ها از طریق کمانش محلی و گسیختگی لایه آلومینیوم پشتی، تغییر شکل پلاستیک و گسیختگی محدود لایه آلومینیوم جلویی و تورق لایه کامپوزیتی پشتی انرژی وارد به خود را جذب کرده است. در مقایسه این موارد با موارد مشاهده شده برای نمونه دارای 0.3 درصد نانولوله کربنی می‌توان دید که مکانیزم‌های درگیر در جذب انرژی و میزان انرژی جذب شده نیز کاهش یافته است.

همانطور که قبلاً نیز گفته شد، این اختلاف رفتار می‌تواند ناشی از اختلاط نامناسب نانولوله‌های کربنی و در نتیجه تردشگی لایه کامپوزیتی باشد [23, 25]. عدم قطبندگی مناسب بین الیاف لایه کامپوزیتی را می‌توان به‌خوبی در تورق لایه کامپوزیتی پشتی ملاحظه نمود.

نکته دیگری که در مورد مکانیزم‌های جذب انرژی در مجموع نمونه‌های آزمایش شده می‌توان به آنها اشاره نمود، زاویه انحراف نمونه‌ها پس از اعمال ضربه است. شکل 12 نمونه‌های آزمایش شده را در کنار یکدیگر قرار می‌دهد.



Fig. 10 GLARE with 0.3 wt% of CNTs

شکل 10 گلار تقویت شده با 0.3 درصد نانولوله کربنی

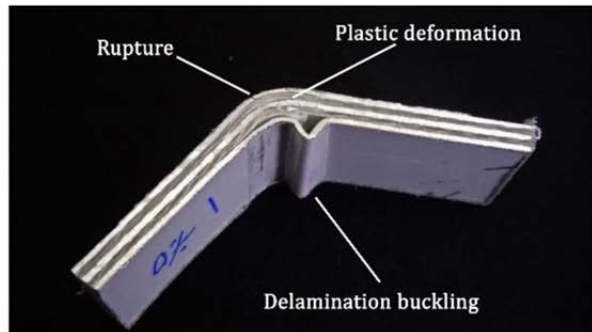


Fig. 7 Unreinforced GLARE

شکل 7 گلار تقویت نشده

با افزودن 0.1 درصد نانولوله کربنی، تورق و کمانش محلی ناشی از بازگشت موج ضربه در آلومینیوم لایه پشتی و شکستگی در کامپوزیت لایه پشتی به عنوان مکانیزم‌های شکست چندلایه مشاهده می‌شود (شکل 8). علاوه بر آن، لایه آلومینیوم جلویی به‌طور کامل جدا شده است و الیاف در کامپوزیت لایه جلویی دچار بیرون زدگی شده‌اند. همین امر میزان انرژی جذب شده را افزایش داده است اما چون انرژی جذب شده توسط لایه‌ای که به‌طور یکپارچه جدا شده است زیاد نیست [38]. تاثیر آن در مقاومت به ضربه چشمگیر نبوده است (0.8 درصد).

همانطور که در شکل 9 دیده می‌شود، با افزایش میزان نانولوله کربنی از 0.1 درصد به 0.2 درصد کمانش محلی ناشی از بازگشت موج ضربه، شکستگی و بیرون زدگی الیاف در لایه کامپوزیت پشتی بخشی از انرژی ضربه را جذب کرده‌اند. تغییر شکل پلاستیک لایه آلومینیوم جلویی و جدا شدن نیمی از آن بخش دیگری از جذب انرژی توسط چندلایه را به خود اختصاص داده است.

در مقایسه با نمونه تقویت شده با 0.1 درصد نانولوله کربنی، در این نمونه آلومینیوم لایه پشتی در اثر شدت موج بازگشتی ضربه دچار گسیختگی شده است و همچنین لایه آلومینیوم جلویی از محل جدا شده دچار پارگی کامل شده است. این موارد باعث شده است که انرژی جذب شده در چندلایه با افزایش میزان نانولوله موجود در آن، افزایش یابد.

هنگامی که میزان نانولوله کربنی موجود در چندلایه به 0.3 درصد می‌رسد میزان انرژی جذب شده بین نمونه‌ها بیشینه 14.36 درصد است. شکل 10 نحوه تغییر شکل این نمونه را پس از آزمون ضربه شارپی نشان می‌دهد. همانطور که در این شکل دیده می‌شود، آلومینیوم لایه جلویی دچار

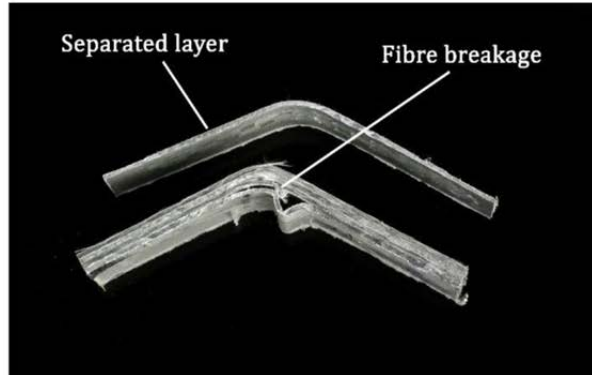


Fig. 8 GLARE with 0.1 wt% of CNTs

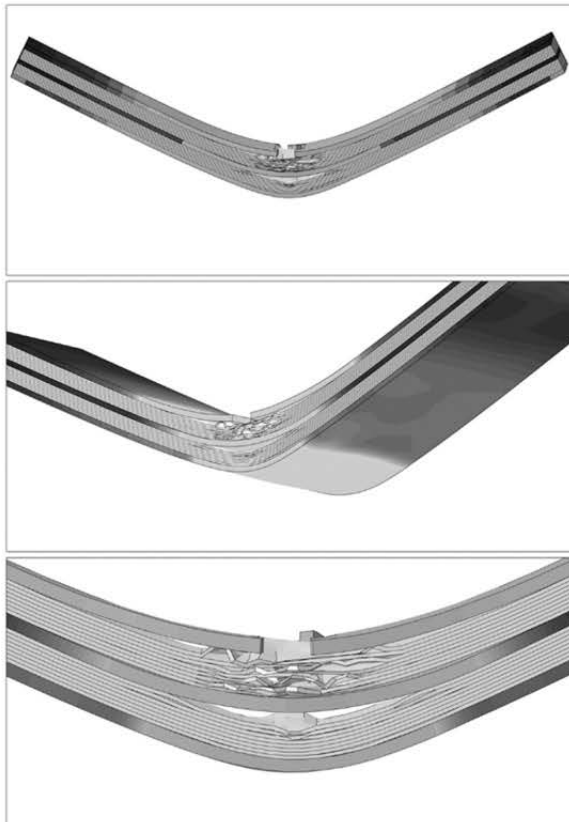
شکل 8 گلار تقویت شده با 0.1 درصد نانولوله کربنی

شکل 13 نحوه آسیب و تغییر شکل قطعه مدل‌سازی شده را پس از ضربه نشان می‌دهد. تغییر شکل پلاستیک لایه‌های آلومینیوم و پارگی لایه آلومینیوم پشتی در مدل مشاهده می‌شود. تورق و شکست لایه کامپوزیتی پشتی و تا حدودی جلویی نیز به خوبی قابل مشاهده است. علاوه بر این می‌توان به جدایش لایه کامپوزیت پشتی از آلومینیوم پشتی و کامپوزیت لایه جلویی از آلومینیوم میانی اشاره نمود.

با مقایسه مکانیزم‌های آسیب ایجاد شده در مدل‌سازی عددی با نمونه آزمایش شده (شکل 7) می‌توان ملاحظه نمود که حل عددی، رفتار نمونه آزمایش شده را به طور طبلوی شبیه‌سازی کرده است. برای بررسی دقیق‌تر، میزان انرژی جذب شده توسط نمونه مدل شده با توجه به افت سرعت ضربه‌زننده در شکل 14 رسم شده است، این نمودار انرژی ضربه‌زننده را در طول فرآیند ضربه نشان می‌دهد. اختلاف انرژی نقاط ابتدا و انتهای نمودار، میزان انرژی جذب شده توسط نمونه را نشان می‌دهد. همانطور که در این نمودار دیده می‌شود، مقدار انرژی جذب شده 21.22 ژول می‌باشد. این میزان جذب انرژی با مقدار اندازه‌گیری شده در آزمایش (20.56) حدود 3.2 درصد خطا را نشان می‌دهد که انطباق بسیار خوب مدل‌سازی با نتایج آزمایش را مشخص می‌کند. با توجه به بررسی انجام شده توسط جمال‌میدی و محمدی سوکی [34] یکی از دلایل خطاکی کم ناشی از این مدل‌سازی را می‌توان به کارگیری روش سطح چسبناک برای مدل‌سازی تورق دانست.

5- نتیجه گیری

در این تحقیق، نمونه‌های گلار با ساختاری شامل سه لایه آلومینیوم و دو لایه کامپوزیت، که از چهار لایه الیاف شیشه بافت ساده تشکیل شده است، ساخته



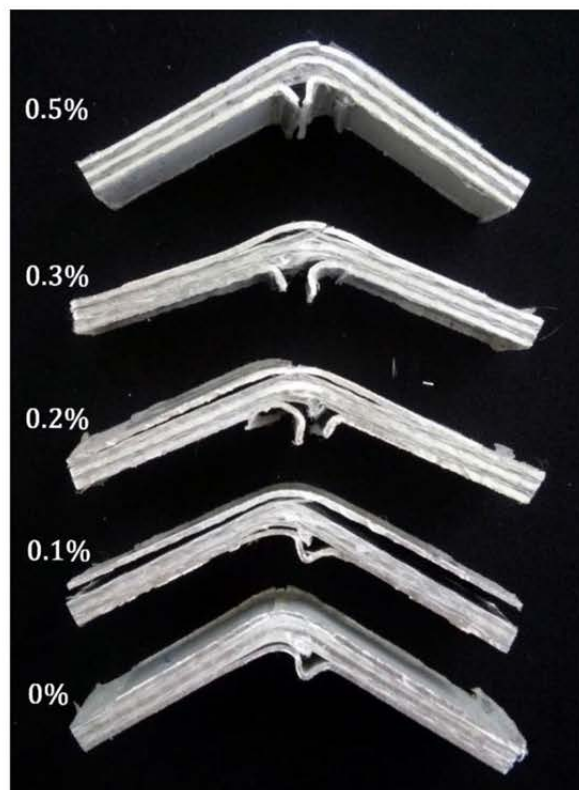
شکل 13 نماهای مختلف آسیب ضربه در مدل المان محدود



شکل 11 گلار تقویت شده با 0.5 درصد نانولوله کربنی

شکل 11 گلار تقویت شده با 0.5 درصد نانولوله کربنی

در این شکل نمونه‌های گفته شده به ترتیب از پایین به بالا چیده شده‌اند. همانطور که دیده می‌شود زاویه انحراف نمونه‌ها از 180 درجه، در نمونه‌های حاوی نانولوله کربنی 0.1، 0.2، 0.3 و 0.5 به ترتیب کاهش یافته است و در نمونه حاوی 0.5 درصد نانولوله کربنی افزایش یافته است. کاهش زاویه می‌تواند ناشی از تقویت مناسب لایه کامپوزیتی، افزایش کرنش شکست و در نتیجه افزایش مقاومت به شکست لایه کامپوزیت اتفاق افتد. باشید. این مولفه در نمونه دارای 0.5 درصد نانولوله کمتر است و می‌تواند شاهدی از تقویت نامناسب لایه کامپوزیتی چندلایه باشد. با این حال افزایش زاویه انحراف که با تغییر شکل لایه‌های مختلف گلار همراه است به جذب انرژی کمک می‌کند. اما همانطور که دیده می‌شود این تغییر شکل نمونه‌ها مقدار کمی در جذب انرژی سهم داشته‌اند. زاویه خمش و بررسی رفتار آن در گلارها پیش از این توسط صدیقی و داریوشی [38] انجام پذیرفته است.



شکل 12 زاویه گلارها

شکل 12 زاویه گلارها

- [6] A. Vlot, Impact properties of Fibre Metal Laminates, *Composites Engineering*, Vol. 3, No. 10, pp. 911-927, 1993.
- [7] A. Vlot, M. Krull, Impact damage resistance of various fibre metal laminates, *Le Journal de Physique IV*, Vol. 7, No. C3, pp. 1045- 1050, 1997.
- [8] A. Seyed Yaghoubi, Y. Liu, B. Liaw, Stacking sequence and geometrical effects on low-velocity impact behaviors of GLARE 5 (3/2) Fiber-Metal Laminates, *Journal of thermoplastic composite materials*, Vol. 25, No. 2, pp. 223-247, 2012.
- [9] F. Moriniere, R. Alderliesten, R. Benedictus, Development of fibre-metal laminates for improved impact performance, *The European Physical Journal-Special Topics*, Vol. 206, No. 1, pp. 79-88, 2012.
- [10] M. Sadighi, S. Darushi, An experimental study on impact behavior of Fiber/Metal Laminates, *Iranian Journal of Polymer Science and Technology*, Vol. 21, No. 4, pp. 315-327, 2008. (in Persian)
- [11] M. Sadighi, M. Tajdari, S. Dariush, An investigation on tensile properties of glass fiber/aluminum laminates, *Iranian Journal of Polymer Science and Technology*, Vol. 22, No. 1, pp. 31-39, 2009. (in Persian)
- [12] A. Rajabi, M. Kadkhodayan, Experimental investigation of the advantages of FMLs compared to metal and composite plates, *Proceeding of The 10th Conference of Iranian Aerospace Society*, Tehran, Iran, 1-3 March, 2011. (in Persian)
- [13] D. Alhazov, E. Zussman, Study of the energy absorption capabilities of laminated glass using carbon nanotubes, *Composites Science and Technology*, Vol. 72, No. 6, pp. 681-687, 2012.
- [14] J. Suhr, N. A. Koratkar, Energy dissipation in carbon nanotube composites: a review, *Journal of Materials Science*, Vol. 43, No. 13, pp. 4370-4382, 2008.
- [15] V. Kostopoulos, A. Baltopoulos, P. Karapappas, A. Vavouliotis, et al., Impact and after-impact properties of carbon fibre reinforced composites enhanced with multi-wall carbon nanotubes, *Composites Science and Technology*, Vol. 70, No. 4, pp. 553-563, 2010.
- [16] L. c. Tang, H. Zhang, X. p. Wu, Z. Zhang, A novel failure analysis of multi-walled carbon nanotubes in epoxy matrix, *The International Journal for the Science and Technology of Polymers*, Vol. 52, No. 9, pp. 2070-2074, 2011.
- [17] H. Zhang, S. Gn, J. An, Y. Xiang, et al., Impact behaviour of GLAREs with MWCNT modified epoxy resins, *Experimental Mechanics*, Vol. 54, No. 1, pp. 83-93, 2014.
- [18] A. Masoudi, G. Lighat, M. H. Pol, Effects of nanoclay on the ballistic behavior of GLARE - Experimental and numerical investigation, *Modares Mechanical Engineering*, Vol. 14, No. 7, pp. 43-51, 2014. (in Persian)
- [19] M. M. Shokrieh, A. Zeinedini, S. M. Ghoreishi, Effects of adding multiwall carbon nanotubes on mechanical properties of Epoxy resin and Glass/Epoxy laminated composites, *Modares Mechanical Engineering*, Vol. 15, No. 9, pp. 125-133, 2015. (in Persian)
- [20] A. Ramezani Parsa, R. Esalami Farsani, Influence of pre strain shape memory alloy wire on impact properties of smart fibers metal composite, *Modares Mechanical Engineering*, Vol. 17, No. 4, pp. 322-330, 2017. (in Persian)
- [21] M. Khansari, H. Khodarahmi, A. Vaziri, Experimental study of ballistic properties of hybrid aluminum and epoxy matrix composite reinforced with carbon nanotube, *Modares Mechanical Engineering*, Vol. 17, No. 8, pp. 126-132, 2017. (in Persian)
- [22] E. Kaboudvand, R. Eslami Farsani, H. Khosravi, Influence of MWCNTs on tensile behavior of fiber metal laminates, *Proceeding of The 1st International Conference on Mechanical and Aerospace Engineering*, April 14, 2016. (in Persian)
- [23] E. Kaboudvand, R. Eslami Farsani, H. Khosravi, Influence of MWCNTs on flexural behavior of fiber metal laminates, *Proceeding of The 2th International Conference on New Resarche achievements in Mechanics, Industrial and Aerospace Engineering*, October 7, 2016. (in Persian)
- [24] R. Eslami Farsani, S. Khalili, V. Daghigh, Charpy impact response of basalt fiber reinforced epoxy and basalt fiber metal laminate composites: Experimental study, *International Journal of Damage Mechanics*, Vol. 23, No. 6, pp. 729-744, 2013.
- [25] M. Najafi, A. Darvizeh, R. Ansari, Evaluation of impact strength of composites and fiber metal laminates hybridized with nanoclay after exposure to high temperature thermal shock, *Journal of Science and Technology of Composites*, Vol. 4, No. 3, pp. 263-274, 2017. (in Persian)
- [26] A. Masoudi, G. H. Lighat, M. H. Pol, Experimental investigation of effects of nanoclay on ballistic properties of GLARE, *Modares Mechanical Engineering*, Vol. 14, No. 4, pp. 141-146, 2014. (in Persian)
- [27] R. Amooyi Dizaji, M. Yazdani, Low velocity impact response of CARALL composites reinforced with nano particles, *Modares Mechanical Engineering*, Vol. 17, No. 2, pp. 58-64, 2017. (in Persian)
- [28] M. Najafi, R. Ansari, A. Darvizeh, Effect of different environmental conditions on impact properties of FMLs hybridized with nanoclay, *Modares Mechanical Engineering*, Vol. 17, No. 12, pp. 193-203, 2018. (in Persian)
- [29] P. Pirali, M. Ghadami, R. Babaei, Numerical investigation of the damaged area of GLARE® under oblique impact of the AP projectile with medium

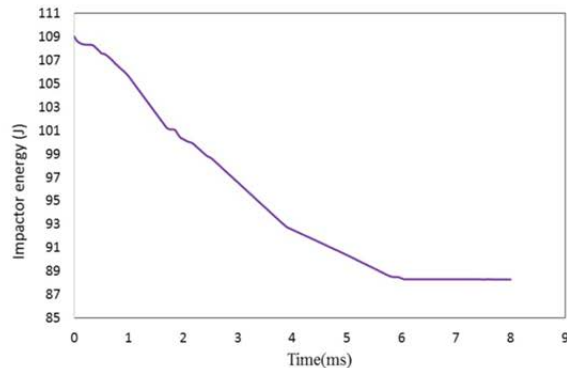


Fig. 14 GLARE with 0.2 wt% of CNTs

شکل 14 گلار تقویت شده با 0.2 درصد نانولوک کربنی

شد و مورد آزمایش ضربه شارپی قرار گرفت. برای آماده سازی سطح آلومینیوم از روش آندایز در وان سولفوریک اسید استفاده شد. نمونه ها با درصد های مختلف نانولوک های کربنی چند دیواره (0.5, 0.3, 0.2, 0.1) تقویت شدند و مقادیر انرژی جذب شده در آنها نسبت به نمونه شاهد مورد بررسی قرار گرفت. نتایج حاصل از این بررسی نشان می دهد که

- میزان جذب انرژی در گلارها با اضافه کردن نانولوک های کربنی افزایش می یابد.
- با اضافه کردن تنها 0.3 درصد نانولوک کربنی میزان انرژی جذب شده حدود 14 درصد افزایش می یابد.
- بیشینه جذب انرژی در میان نمونه های بررسی شده به ازای 0.3 درصد نانولوک کربنی بدست می آید و با افزایش میزان نانولوک کربنی در روزین، انرژی جذب شده کاهش می یابد.
- مقایسه مدهای شکست گلارها به ازای افزودن نانولوک کربنی نشان می دهد که میزان چسبندگی لایه کامپوزیتی به لایه آلومینیومی با افزایش درصد نانولوک ها بهبود می یابد.
- با افزایش میزان نانولوک کربنی موجود در چند لایه ها زاویه انحراف نمونه از حالت تخت کاهش می یابد که این مشاهده می تواند نتیجه افزایش سفتی لایه های کامپوزیتی تقویت شده باشد. همچنین افزایش این زاویه در نمونه حاوی 0.5 درصد نانولوک کربنی می تواند ناشی از کلخه شدن نانولوک ها در لایه کامپوزیتی باشد که همین امر باعث کاهش انرژی جذب شده در این نمونه ها شده است.
- نتایج حاصل از بررسی عددی مکانیزم های آسیب ایجاد شده در گلار را به خوبی نشان می دهد. استفاده از سطح چسبناک باعث شده است که خطای مدل سازی به خوبی کاهش یابد و انرژی جذب شده در گلار با کمترین خطا پیش بینی شود.

6- مراجع

- [1] R. Alderliesten, J. Homan, Fatigue and damage tolerance issues of Glare in aircraft structures, *International Journal of Fatigue*, Vol. 28, No. 10, pp. 1116-1123, 2006.
- [2] A. Vlot, *Glare: history of the development of a new aircraft material*, pp. 39-45, Dordrecht: Kluwer Academic Publishers, 2001.
- [3] G. Wu, J. M. Yang, The mechanical behavior of GLARE laminates for aircraft structures, *The Journal of The Minerals, Metals and Materials Society*, Vol. 57, No. 1, pp. 72-79, 2005.
- [4] T. De Vries, A. Vlot, F. Hashagen, Delamination behavior of spliced fiber metal laminates. Part I. Experimental results, *Composite structures*, Vol. 46, No. 2, pp. 131-145, 1999.
- [5] A. Vlot, L. Vogelsang, T. De Vries, Towards application of fibre metal laminates in large aircraft, *Aircraft Engineering and Aerospace Technology*, Vol. 71, No. 6, pp. 558-570, 1999.

- [34] M. Jamal-Omidi, M. R. Mohammadi Suki, Numerical investigation of the behavior of FML composite plates under low velocity impact, *Journal of Energetic Materials*, Vol. 11, No. 2, pp. 23-38, 2016. (in Persian) (فارسی)
- [35] *Multi Walled Carbon Nanotubes 10-20nm*, Accessed 20 April, 2018; <https://www.cheaptubes.com/product/multi-walled-carbon-nanotubes-10-20nm/>.
- [36] A. Warrier, A. Godara, O. Rochez, L. Mezzo, et al., The effect of adding carbon nanotubes to glass/epoxy composites in the fibre sizing and/or the matrix, *Composites Part A: Applied Science and Manufacturing*, Vol. 41, No. 4, pp. 532-538, 2010.
- [37] P. Jojibabu, M. Jagannatham, P. Haridoss, G. J. Ram, et al., Effect of different carbon nano-fillers on rheological properties and lap shear strength of epoxy adhesive joints, *Composites Part A: Applied Science and Manufacturing*, Vol. 82, pp. 53-64, 2016.
- [38] S. Dariushi, M. Sadighi, An experimental study of the fibre orientation and laminate sequencing effects on mechanical properties of Glare, *Proceedings of the Institution of Mechanical Engineers, Part G: Journal of Aerospace Engineering*, Vol. 222, No. 7, pp. 1015-1024, 2008.
- caliber, *Modares Mechanical Engineering*, Vol. 17, No. 3, pp. 367-375, 2017. (in Persian) (فارسی)
- [30] I. Lapczyk, J. A. Hurtado, Progressive damage modeling in fiber-reinforced materials, *Composites Part A: Applied Science and Manufacturing*, Vol. 38, No. 11, pp. 2333-2341, 2007.
- [31] Y. Shi, T. Swart, C. Soutis, Modelling damage evolution in composite laminates subjected to low velocity impact, *Composite Structures*, Vol. 94, No. 9, pp. 2902-2913, 2012.
- [32] E. Sitnikova, Z. W. Guan, G. K. Schleyer, W. J. Cantwell, Modelling of perforation failure in fibre metal laminates subjected to high impulsive blast loading, *International Journal of Solids and Structures*, Vol. 51, No. 18, pp. 3135-3146, 2014.
- [33] M. M. Shokrieh, M. Ghajar, M. Salamattalab, R. Madoliat, Progressive damage modeling of laminated composites by considering simultaneous effects of interlaminar and intralaminar damage mechanisms, *Journal of Science and Technology of Composites*, Vol. 2, No. 2, pp. 1-8, 2015. (in Persian) (فارسی)